

Г.В. Малинин, Л.С. Севриков

(г. Чебоксары, Чувашский государственный университет им. И.Н. Ульянова)

МОДЕЛИРОВАНИЕ РЕЗОНАНСНОГО ПРЕОБРАЗОВАТЕЛЯ ПОСТОЯННОГО НАПРЯЖЕНИЯ

SIMULATION OF A RESONANT DC-DC VOLTAGE CONVERTER

Рассмотрены методы математического моделирования резонансного преобразователя постоянного напряжения как нелинейной системы. Показаны достоинства и недостатки методов моделирования.

Methods of mathematical modeling of a resonant DC-DC voltage converter as a nonlinear system are considered. The advantages and disadvantages of modeling methods are shown.

Ключевые слова: резонансный преобразователь постоянного напряжения, векторно-матричные уравнения, метод разделения движений, метод припасовывания.

Keywords: resonant DC-DC converter, vector-matrix equations, motion separation method, fitting method.

Наиболее целесообразным методом расчета процессов в резонансных преобразователях постоянного напряжения (ППН) является метод припасовывания. Он сводится к решению систем линейных дифференциальных уравнений на интервалах времени линейности ППН и может быть использован как при ШИМ, так и при ЧИМ регулировании. Для упрощения математического описания в резонансных ППН метод припасовывания может использоваться в сочетании с методом разделения процессов на быстрые (в LC -контуре) и медленные (в выходной цепи). Тогда при расчете процессов в LC -контуре, который можно выполнять отдельно от выходной цепи, выходное напряжение ППН считается постоянным за полпериода колебаний инвертора $T_{\text{п}}=T/2$, изменение выходного напряжения рассчитывается методом усреднения, его пульсации не учитываются. Уравнения LC -контура могут решаться векторно-матричным, классическим и операторным методами. Далее методы расчета рассматриваются применительно к резонансному ППН типа LLC [1, 2]. Полученные соотношения будут справедливы и для ППН с простым последовательным LC -контуром, если в них принять индуктивность намагничивания, равной бесконечности.

На рис. 1 представлена схема силовой части ППН типа LLC . С учетом T -образной линейной эквивалентной схемы трансформатора схема замещения колебательного LC -контура представляется в виде, указанном на рис. 2, а, где $u_{\text{н}}$ – напряжение на выходе инверторного моста, u'_2 – напряжение на вторичной обмотке трансформатора, приведенное к первичной обмотке, $L_1=L_{\text{к}}+L_{\text{с1}}$, $L_{\text{к}}$ – индуктивность внешнего дросселя, $L_{\text{с1}}$, $L'_{\text{с2}}$ – индуктивность рассеяния

первичной обмотки трансформатора и приведенная к первичной обмотке индуктивность рассеяния вторичной обмотки; r_1, r_2' - активные сопротивления цепи первичной обмотки трансформатора и приведенное к первичной обмотке активное сопротивление цепи вторичной обмотки. В преобразователях типа *LLC* индуктивность намагничивания трансформатора L_μ обычно соизмерима с индуктивностью рассеяния $L_s = L_{s1} + L'_{s2}$ ($L_\mu \approx 10L_s$).

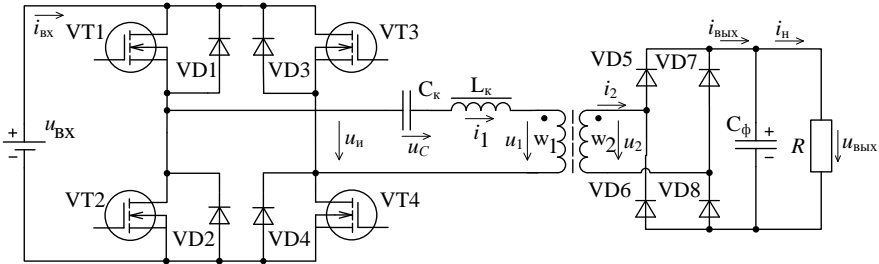


Рис. 1. Силовая часть резонансного преобразователя постоянного напряжения *LLC* типа

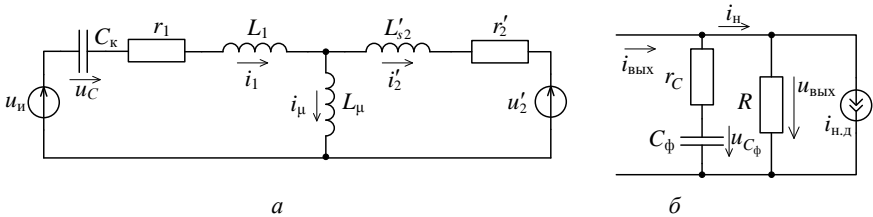


Рис. 2. Эквивалентные схемы: а - для колебательного *LC*-контура; б - для выходной цепи ППП

Векторно-матричный метод.

Для схемы на рис. 1, б справедливы следующие уравнения

$$\begin{aligned} L_1 \frac{di_1}{dt} + r_1 i_1 + u_C + L'_{s2} \frac{di'_2}{dt} + r_2 i'_2 &= u_\mu - u'_2, \\ L_\mu \frac{di_\mu}{dt} - L'_{s2} \frac{di'_2}{dt} - r_2 i'_2 &= u'_2, \\ C_\kappa \frac{du_C}{dt} &= i_1. \end{aligned} \quad (1)$$

Принимая за переменные состояния *LC*-контура токи i_1, i'_2 и напряжение u_C , исключим ток намагничивания $i_\mu = i_1 - i'_2$ из второго уравнения (1). Тогда из уравнений (1) получим уравнения

$$\frac{di_1}{dt} = -(1 + \lambda_2) \frac{r_1}{L_1} i_1 - \frac{r_2'}{L_1^*} i'_2 - \frac{1 + \lambda_2}{L_1^*} u_C + \frac{1 + \lambda_2}{L_1^*} u_\mu - \frac{1}{L_1^*} u'_2, \quad (2)$$

$$\frac{di_2'}{dt} = -\frac{r_1}{L_1^*} i_1' - \frac{(1+\lambda_1)r_2'}{L_1^*} i_2' - \frac{1}{L_1^*} u_C + \frac{1}{L_1^*} u_{и} - \frac{1+\lambda_1}{L_1^*} u_2', \quad (3)$$

где введены обозначения

$$\lambda_1=L_1/L_{и}, \lambda_2=L'_{s2}/L_{и}, L_1^* = L_1(1+\lambda_2+\lambda_2/\lambda_1).$$

Систему, состоящую из (2), (3) и третьего уравнения (1), можно записать в векторно-матричной форме

$$\frac{d\mathbf{x}}{dt} = \mathbf{Ax} + \mathbf{Bv}, \quad (4)$$

где \mathbf{x} – вектор состояния LC-контура, \mathbf{v} – вектор внешних воздействий;

$$\mathbf{x} = \begin{pmatrix} i_1' \\ i_2' \\ u_C \end{pmatrix}; \quad \mathbf{v} = \begin{pmatrix} u_{и} \\ u_2' \end{pmatrix}; \quad \mathbf{A} = \begin{pmatrix} -\frac{(1+\lambda_2)r_1}{L_1^*} & -\frac{r_2'}{L_1^*} & -\frac{1+\lambda_2}{L_1^*} \\ -\frac{r_1}{L_1^*} & -\frac{(1+\lambda_1)r_2'}{L_1^*} & -\frac{1}{L_1^*} \\ \frac{1}{C_K} & 0 & 0 \end{pmatrix}; \quad \mathbf{B} = \begin{pmatrix} \frac{1+\lambda_2}{L_1^*} & -\frac{1}{L_1^*} \\ \frac{1}{L_1^*} & -\frac{1+\lambda_1}{L_1^*} \\ 0 & 0 \end{pmatrix}.$$

В схеме на рис. 2, а $u_{и}=u_{вх}$ при открытых транзисторах VT1, VT4 (или при открытых диодах VD1, VD4) и $u_{и}=-u_{вх}$ при открытых транзисторах VT2, VT3 (или при открытых диодах VD2, VD3).

$$u_2' = \begin{cases} u_{\text{вых.ср}}/n_{\text{тр}} & \text{при } i_2' > 0, \\ -u_{\text{вых.ср}}/n_{\text{тр}} & \text{при } i_2' < 0, \end{cases}$$

где $u'_{\text{вых}} = u_{\text{вых}}/n_{\text{тр}}$ – среднее значение выходного напряжения, приведенное к первичной обмотке трансформатора; $n_{\text{тр}}=w_2/w_1$ – коэффициент трансформации трансформатора. Процессы в выходной цепи, а именно, определение $u_{\text{вых.ср}}$, рассматриваются отдельно [1, 2].

На интервалах времени постоянства вектора внешних воздействий ($\mathbf{v}=\text{const}$) решение уравнения (4) можно представить в виде

$$\mathbf{x}(t) = e^{\mathbf{A}t} [\mathbf{x}(0) - \mathbf{x}(\infty)] + \mathbf{x}(\infty), \quad (5)$$

где $\mathbf{x}(0)$ – начальное значение вектора $\mathbf{x}(t)$ для рассматриваемого интервала времени; $\mathbf{x}(\infty) = \lim_{t \rightarrow \infty} \mathbf{x}(t)$ – асимптотическое значение вектора $\mathbf{x}(t)$, элементы

которого можно найти непосредственно из рис. 2, а. Фундаментальная (переходная) матрица $\Phi(t) = e^{\mathbf{A}t} = L^{-1} [(p\mathbf{I} - \mathbf{A})^{-1}]$ определяется через обратное преобразование Лапласа.

Достоинством рассмотренного метода математического моделирования является компактность представления математической модели с одновременной простотой ее реализации, например, средствами MatLab.

Операторный метод.

Этот метод основан на преобразовании по Лапласу уравнений (2), (3) и третьего уравнения системы (1). После преобразований имеем

$$pI_1(p) - i_1(0) = -(1 + \lambda_2) \frac{r_1}{L_1^*} I_1(p) - \frac{r_2'}{L_1^*} I_2'(p) - \frac{1 + \lambda_2}{L_1^*} U_C(p) + \frac{1 + \lambda_2}{L_1^*} U_u(p) - \frac{U_2'(p)}{L_1^*},$$

$$pI_2'(p) - i_2'(0) = -\frac{r_1}{L_1^*} I_1(p) - \frac{(1 + \lambda_1)r_2'}{L_1^*} I_2'(p) - \frac{U_C(p)}{L_1^*} + \frac{U_u(p)}{L_1^*} - \frac{1 + \lambda_1}{L_1^*} U_2'(p),$$

$$pU_C(p) - u_C(0) = \frac{I_1(p)}{C_k} \quad \text{или} \quad U_C(p) = \frac{I_1(p)}{pC_k} + \frac{u_C(0)}{p}.$$

Другой вариант операторного метода расчета, изучаемый в теории электрических цепей, основан на составлении операторных уравнений непосредственно по схеме замещения рис. 2, а. При этом операторное падение напряжения на индуктивности определяется выражением

$$U_L(p) = L[pI_L(p) - i_L(0)], \quad \text{а на емкости} - \text{выражением} \quad U_C(p) = \frac{I_C(p)}{Cp} + \frac{u_C(0)}{p}.$$

Тогда для схемы на рис. 2, а вместо уравнений (1) с учетом равенства $i_u = i_1 - i_2'$ сразу можно записать

$$L_1 [pI_1(p) - i_1(0)] + r_1 I_1(p) + \frac{1}{p} \left[\frac{1}{C_k} I_1(p) + u_C(0) \right] +$$

$$+ L_{s2}' [pI_2'(p) - i_2'(0)] + r_2' I_2'(p) = U_u(p) - U_2'(p),$$

$$L_u \{ p [I_1(p) - I_2'(p)] - i_1(0) + i_2'(0) \} - L_{s2}' [pI_2'(p) - i_2'(0)] - r_2' I_2'(p) = U_2'(p),$$

$$C_k [pU_C(p) - u_C(0)] = I_1(p).$$

В простейшем случае изображения искомых переменных вектора состояния определяются методом исключения, что, однако, довольно громоздко. Особенностью операторного метода математического моделирования является то, что для определения величин $i_1(t)$, $i_2'(t)$ и $u_C(t)$ не требуется проводить никаких матричных преобразований. Однако вероятность появления ошибки при определении оригинала по его изображению значительно выше, чем в рассмотренном векторно-матричном способе моделирования резонансного ППН.

Список литературы

1. Белов, Г.А. Расчет и моделирование переходных процессов в резонансном преобразователе постоянного напряжения типа LLC/ Г.А. Белов, Г.В. Малинин, Л.С. Севриков // Электротехника. – 2019. – №8. – С. 26-31.

2. Белов, Г.А. Методика расчета переходных процессов резонансном преобразователе постоянного напряжения/ Г.А. Белов, Г.В. Малинин // Информационные технологии в электротехнике и электроэнергетике: материалы XII Всерос. науч.-техн. конф. – Чебоксары, 2020. – С. 164-172.

Материал поступил в редколлегию 12.10.20.